

TRIODE PENTODE; triode section for use as frame time base oscillator and A.F. amplifier; pentode section for use as frame output tube and A.F. output tube  
 TRIODE-PENTODE; la triode pour utilisation comme oscillatrice pour la déviation verticale et comme amplificateur B.F.; la pentode pour utilisation comme tube de sortie de déviation verticale et comme tube de sortie B.F.  
 TRIODE-PENTODE; die Triode zur Verwendung als Oszillator für die vertikale Ablenkung und als NF-Verstärker; die Pentode zur Verwendung als Endröhre für die vertikale Ablenkung und als NF-Endröhre

Heating : indirect by A.C. or D.C.

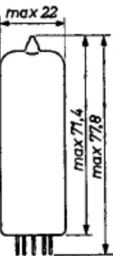
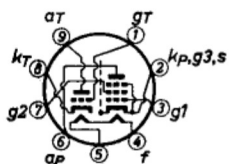
parallel supply

Chauffage: indirect par C.A. ou C.C.  $V_f = 6,3$  V

alimentation parallèle

Heizung : indirekt durch Wechsel- oder Gleichstrom; Parallelspeisung  $I_f = 780$  mA

Dimensions in mm  
 Dimensions en mm  
 Abmessungen in mm



Base, culot, Sockel: NOVAL

Capacitances  
 Capacités  
 Kapazitäten

Triode section  
 Partie triode  
 Triodenteil

$C_g = 2,7$  pF       $C_{g1} = 9,3$  pF  
 $C_a = 4,3$  pF       $C_a = 8,0$  pF  
 $C_{ag} = 4,2$  pF       $C_{ag1} < 0,3$  pF  
 $C_{gf} < 0,1$  pF       $C_{g1f} < 0,3$  pF

Between triode and pentode section  
 Entre la partie triode et pentode  
 Zwischen Trioden- und Pentodenteil

$C_{aT-g1P} < 0,02$  pF  
 $C_{gT-aP} < 0,02$  pF  
 $C_{gT-g1P} < 0,025$  pF  
 $C_{aT-aP} < 0,25$  pF

TRIODE PENTODE; triode section for use as frame time base oscillator and A.F. amplifier; pentode section for use as frame output tube and A.F. output tube  
 TRIODE-PENTHODE; la triode pour utilisation comme oscillatrice pour la déviation verticale et comme amplificateur B.F.; la penthode pour utilisation comme tube de sortie de déviation verticale et comme tube de sortie B.F.  
 TRIODE-PENTODE; die Triode zur Verwendung als Oszillator für die vertikale Ablenkung und als NF-Verstärker; die Pentode zur Verwendung als Endröhre für die vertikale Ablenkung und als NF-Endröhre

Heating : indirect by A.C. or D.C.  
 parallel supply

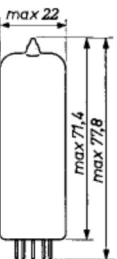
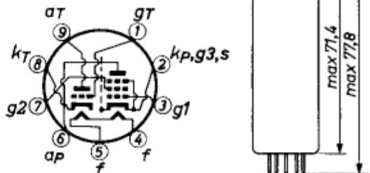
Chauffage: indirect par C.A. ou C.C.  
 alimentation parallèle

Heizung : indirekt durch Wechsel- oder Gleichstrom; Parallelspeisung

$V_f = 6,3$  V

$I_f = 780$  mA

Dimensions in mm  
 Dimensions en mm  
 Abmessungen in mm



Base, culot, Sockel: NOVAL

Capacitances  
 Capacités  
 Kapazitäten

Triode section      Pentode section  
 Partie triode      Partie penthode  
 Triodenteil      Pentodenteil

$C_g = 2,7$ pF	$C_{g1} = 9,3$ pF
$C_a = 4,3$ pF	$C_a = 8,0$ pF
$C_{ag} = 4,4$ pF	$C_{ag1} < 0,3$ pF
$C_{gf} < 0,1$ pF	$C_{g1f} < 0,3$ pF



Between triode and pentode section  
 Entre la partie triode et penthode  
 Zwischen Trioden- und Pentodenteil

$C_{aT-g1P} < 0,02$ pF
$C_{gT-aP} < 0,02$ pF
$C_{gT-g1P} < 0,025$ pF
$C_{aT-aP} < 0,25$ pF

Typical characteristics of the pentode section  
 Caractéristiques types de la partie pentode  
 Kenndaten des Pentodenteils

V <sub>a</sub>	=	100	170	200	200 V
V <sub>g2</sub>	=	100	170	170	200 V
V <sub>g1</sub>	=	-6,0	-11,5	-12,5	-16 V
I <sub>a</sub>	=	26	41	35	35 mA
I <sub>g2</sub>	=	5,0	8,0	6,5	7,0 mA
S	=	6,8	7,5	6,8	6,4 mA/V
R <sub>1</sub>	=	15	16	20,5	20 kΩ
μ <sub>g2g1</sub>	=	10	9,5	9,5	9,5

Typical characteristics of the triode section  
 Caractéristiques types de la partie triode  
 Kenndaten des Triodenteils

V <sub>a</sub>	=	100 V
V <sub>g</sub>	=	0 V
I <sub>a</sub>	=	3,5 mA
S	=	2,5 mA/V
μ	=	70

Operating characteristics of the pentode section as audio output tube, class A  
 Caractéristiques d'utilisation de la partie pentode comme tube de sortie B.F., classe A  
 Betriebsdaten des Pentodenteils als NF-Endröhre, Klasse A

V <sub>a</sub>	=	100	170	200	200 V
V <sub>g2</sub>	=	100	170	170	200 V
V <sub>g1</sub>	=	-6,0	-11,5	-12,5	-16 V
I <sub>a</sub>	=	26	41	35	35 mA
I <sub>g2</sub>	=	5,0	8,0	6,5	7,0 mA
S	=	6,8	7,5	6,8	6,4 mA/V
R <sub>1</sub>	=	15	16	20,5	20 kΩ
μ <sub>g2g1</sub>	=	10	9,5	9,5	9,5
R <sub>a</sub>	=	3,9	3,9	5,6	5,6 kΩ
W <sub>o</sub> (d <sub>tot</sub> = 10%)	=	1,05	3,3	3,4	3,5 W
V <sub>1</sub> (d <sub>tot</sub> = 10%)	=	3,8	6,0	5,8	6,6 V <sub>eff</sub>
V <sub>1</sub> (W <sub>o</sub> = 50 mW)	=	0,65	0,59	0,56	0,6 V <sub>eff</sub>

→ Typical characteristics  
Caractéristiques types  
Kenndaten

Triode section	Pentode section
Partie triode	Partie penthode
Triodenteil	Pentodenteil

$V_a = 100 \text{ V}$	$V_a = 170 \text{ V}$
$V_g = 0 \text{ V}$	$V_{g_2} = 170 \text{ V}$
$I_a = 3,5 \text{ mA}$	$V_{g_1} = -11,5 \text{ V}$
$S = 2,2 \text{ mA/V}$	$I_a = 41 \text{ mA}$
$\mu = 70$	$I_{g_2} = 9 \text{ mA}$
	$S = 7,5 \text{ mA/V}$
	$R_1 = 16 \text{ k}\Omega$
	$\mu_{g_2 g_1} = 9,5$

Operating characteristics of the pentode section as audio output tube, class A  
Caractéristiques d'utilisation de la partie penthode comme tube de sortie B.F., classe A  
Betriebsdaten des Pentodenteils als NF-Endröhre, Klasse A

$V_{ba} = 200$	272	V
$V_{bg_2} = 200$	272	V
$R_{g_2} = 470$	2200	$\Omega$ <sup>1)</sup>
$R_K = 330$	650	$\Omega$ <sup>2)</sup>
$R_{a\sim} = 4,5$	8	k $\Omega$

$V_1 = 0$	$0,66$	$6,7$	$0$	$0,9$	$9,5$	Veff
$I_a = 35$	-	$37$	$28$	-	$27$	mA
$I_{g_2} = 7,8$	-	$13,3$	$6,5$	-	$10,8$	mA
$W_0 = 0$	$0,05$	$3,3$	$0$	$0,05$	$3,5$	W
$d_{tot} = -$	-	$10$	-	-	$10$	%

<sup>1)</sup> Not bypassed; non découplée; nicht entkoppelt

<sup>2)</sup> During measurement  $V_k$  is kept constant  
Pendant la mesure  $V_k$  est tenue constante  
Während der Messung wird  $V_k$  konstant gehalten

Optimum peak anode current of the pentode section in frame output application.

To allow for tube spread and for deterioration during life the circuit should be designed around a peak anode current  $I_{ap}$  not exceeding

85 mA at  $V_a = 50$  V,  $V_{g2} = 170$  V

At underheating ( $V_f = 5.5$  V) the following values of  $I_{ap}$  must be considered

$I_{ap} = 70$  mA at  $V_a = 50$  V and  $V_{g2} = 170$  V

$I_{ap} = 80$  mA at  $V_a = 50$  V and  $V_{g2} = 190$  V

The peak anode current of an average new tube is

135 mA at  $V_a = 50$  V,  $V_{g2} = 170$  V,  $I_{g1} = 0.3 \mu A$

Courant anodique de crête optimum de la partie penthode comme tube de sortie pour la déviation verticale

Pour tenir compte des tolérances du tube et la dégradation en service, le circuit devra être conçu pour un courant anodique de crête  $I_{ap}$  ne dépassant pas une valeur de

85 mA à  $V_a = 50$  V,  $V_{g2} = 170$  V

A un chauffage unsuffisant ( $V_f = 5.5$  V) on doit tenir compte des valeurs suivantes:

$I_{ap} = 70$  mA à  $V_a = 50$  V et  $V_{g2} = 170$  V

$I_{ap} = 80$  mA à  $V_a = 50$  V et  $V_{g2} = 190$  V

Le courant anodique de crête d'un tube nouveau moyen est de

135 mA à  $V_a = 50$  V,  $V_{g2} = 170$  V,  $I_{g1} = 0.3 \mu A$

Höchstwert des Anoden spitzenstromes des Pentodenteils als Endröhre für die vertikale Ablenkung

Um den Röhrentoleranzen und dem Absinken der Röhrenkennwerte während der Lebensdauer Rechnung zu tragen, soll die Schaltung entworfen werden für einen Höchstwert des Anoden spitzenstromes von

$I_{ap} = 85$  mA bei  $V_a = 50$  V,  $V_{g2} = 170$  V

Bei Unterheizung (Heizspannung = 5,5 V) muss man mit folgenden Werten rechnen:

$I_{ap} = 70$  mA bei  $V_a = 50$  V und  $V_{g2} = 170$  V

$I_{ap} = 80$  mA bei  $V_a = 50$  V und  $V_{g2} = 190$  V

Der Anoden spitzenstrom einer durchschnittlichen neuen Röhre bei Normalheizung beträgt

$I_{ap} = 135$  mA bei  $V_a = 50$  V,  $V_{g2} = 170$  V,  $I_{g1} = +0.3 \mu A$

Operating characteristics of two pentode sections as A.F.  
class AB push-pull output amplifier  
Caractéristiques d'utilisation de deux parties pentodes en  
amplificateur de sortie B.F. classe AB.  
Betriebsdaten von zwei Pentodenteilen als NF Klasse AB  
Gegentakt-Ausgangsverstärker

$V_{ba}$	=	200	250	V
$V_{bg_2}$	=	200	200	V
$R_k$	=	170	220	$\Omega$ <sup>1)</sup>
$R_{aa'}$	=	4,5	10	k $\Omega$
$V_1$	=	0      14,2	0      12,5	$V_{eff}$
$I_a$	=	2x35      2x42,5	2x 28      2x31	mA
$I_{g_2}$	=	2x 8      2x16,5	2x5,8      2x13	mA
$W_o$	=	0      9,3	0      10,5	W
$\dot{d}_{tot}$	=	-      6,3	-      4,8	%

Optimum peak anode current of the pentode section in frame output application

The circuit should be designed so that it operates satisfactorily with a peak anode current  $I_{ap}$  not exceeding 85 mA at  $V_a = 50$  V,  $V_{g_2} = 170$  V,  $V_f = 6.3$  V. The minimum available  $I_{ap}$  at end of life with  $V_f = 5.5$  V is 70 mA at  $V_a = 50$  V,  $V_{g_2} = 170$  V  
80 mA at  $V_a = 50$  V,  $V_{g_2} = 190$  V.

Courant anodique de crête optimum de la partie pentode comme tube de sortie pour la déviation verticale

Le circuit doit être conçu de telle manière qu'il fonctionne satisfaisamment avec un courant anodique de crête  $I_{ap}$  qui ne dépasse pas 85 mA à  $V_a = 50$  V,  $V_{g_2} = 170$  V,  $V_f = 6,3$  V. Le  $I_{ap}$  disponible au minimum à la fin de la durée et à  $V_f = 5,5$  V est de

70 mA à  $V_a = 50$  V,  $V_{g_2} = 170$  V  
80 mA à  $V_a = 50$  V,  $V_{g_2} = 190$  V

Höchstwert des Anodenspitzenstromes des Pentodenteils als Endröhre für die vertikale Ablenkung Siehe Seite 4

<sup>1)</sup>) Common cathode resistor  
Résistance cathodique commune  
Gemeinsamer Katodenwiderstand

The triode section can be used without special precautions against microphonic effect and hum in circuits in which an input voltage  $V_1 \geq 10$  mVeff gives an output of 50 mW

La partie triode peut être utilisée sans précautions spéciales contre l'effet microphonique et le ronflement dans des circuits où une tension d'entrée  $V_1 \geq 10$  mVeff résulte en une puissance de sortie de 50 mW

Der Triodenteil darf ohne spezielle Massnahmen gegen Mikrophonie und Brumm in Schaltungen verwendet werden, die für eine Eingangsspannung  $V_1 \geq 10$  mVeff eine Ausgangsleistung von 50 mW ergeben

Optimum peak cathode current of the triode section as frame time base oscillator

To allow for tube spread, for deterioration during life and for emission drop at underheating the equipment should be so designed that it still operates satisfactorily with a peak cathode current of 200 mA (max. pulse duration 4% of a cycle, with a maximum of 0.8 msec.). The amplitude of the peak current occurring with new tubes should be limited automatically to this max. value of 200 mA. (e.g. by non-bypassed resistances in the grid lead)

If no automatic limitation is present the equipment should be designed around a peak cathode current of 100 mA

Courant cathodique de crête optimum de la partie triode comme oscillatrice pour la déviation verticale

Pour tenir compte de la dispersion, de la dégradation en service et de la chute de l'émission lors d'un chauffage insuffisant, l'appareil devra être conçu de telle façon qu'il donne encore toute satisfaction avec un courant cathodique de crête de 200 mA. (Durée maximum de l'impulsion 4% d'une période avec un maximum de 0,8 msec.) Il faut limiter automatiquement l'amplitude du courant de crête à cette valeur maximum de 200 mA se produisant avec des tubes neufs (p.e. par des résistances non-shuntées dans la connection de grille)

S'il n'existe aucune limitation automatique, l'appareil devra être étudié pour fonctionner avec un courant cathodique de crête de 100 mA

Höchstwert des Katodenspitzenstromes des Triodenteils bei Verwendung als Oszillatator für die vertikale Ablenkung

Um den Röhrentoleranzen, dem Absinken der Röhrenkennwerte während der Lebensdauer und der Emissionsabnahme bei Unterheizung Rechnung zu tragen, soll das Gerät so ausgelegt werden, dass es bei einem Katodenspitzenstrom von 200 mA noch einwandfrei arbeitet (Impulzdauer max. 4% einer Periode, aber nicht länger als 0,8 ms). Man soll die Amplitude der bei neuen Röhren auftretenden Spitzenstrom automatisch auf diesen maximalen Wert von 200 mA begrenzen (z.B. durch nicht überbrückte Widerstände in der Gitterleitung). Ist keine automatische Begrenzung vorgesehen, so ist das Gerät für einen Katodenspitzenstrom von 100 mA auszulegen

Höchstwert des Anodenspitzenstromes des Pentodenteils als  
Endröhre für die vertikale Ablenkung

Die Schaltung soll derart entworfen werden, dass sie mit einem Anodenspitzenstrom der bei  $V_a = 50$  V,  $V_{g2} = 170$  V und  $V_f = 6,3$  V nicht höher ist als 85 mA, befriedigend arbeitet. Der mindestens zur Verfügung stehende  $I_{ap}$  am Ende der Lebensdauer bei  $V_f = 5,5$  V ist

70 mA bei  $V_a = 50$  V,  $V_{g2} = 170$  V  
80 mA bei  $V_a = 50$  V,  $V_{g2} = 190$  V

Microphony and hum of the triode section

The triode section can be used without special precautions against microphony and hum in circuits in which an input voltage  $V_1 \geq 10$  mVeff gives an output of 50 mW of the output stage.  $Z_g$  (50c/s) = 0.25 M $\Omega$ .

Effet microphonique et ronflement de la partie triode

La partie triode peut être utilisée sans précautions spéciales contre l'effet microphonique et le ronflement dans des circuits où une tension d'entrée  $V_1 \geq 10$  mVeff résulte en une puissance de sortie de l'étage de sortie de 50 mW.  $Z_g$  (50 c/s) = 0,25 M $\Omega$ .

Mikrophonie und Brumm des Triodenteils

Der Triodenteil darf ohne spezielle Massnahmen gegen Mikrophonie und Brumm verwendet werden in Schaltungen die für eine Eingangsspannung  $V_1 \geq 10$  mVeff eine Ausgangsleistung der Endstufe von 50 mW ergeben.  $Z_g$  (50 c/s) = 0,25 M $\Omega$ .

Operating characteristics of the triode section as A.F.  
amplifier  
Caractéristiques d'utilisation de la partie triode comme  
amplificateur B.F.  
Betriebsdaten des Triodenteils als NF-Verstärker

Signal source resistance 220 kΩ  
Résistance interne de la source de signal 220 kΩ  
Generator-Innenwiderstand 220 kΩ

$$R_g = 3 \text{ MΩ} \quad R_{g11'} = 680 \text{ kΩ}^1)$$

$V_b$ (V)	$R_k$ (kΩ)	$R_a$ (kΩ)	$I_a$ (mA)	$V_o$ (Veff)	$\frac{V_o^2}{V_1}$	$d_{tot}$ (%)
200	2,2	220	0,52	26	52	1,63)
170	2,7	220	0,43	25	51	2,3 <sup>3</sup> )
100	2,7	220	0,23	15	47	4,0 <sup>3</sup> )

$$R_g = 22 \text{ MΩ} \quad R_{g11'} = 680 \text{ kΩ}^1)$$

200	0	100	1,05	24	50	1,5 <sup>4</sup> )
170	0	100	0,86	19	49	1,4 <sup>4</sup> )
100	0	100	0,37	8	42	1,3 <sup>3</sup> )
200	0	220	0,61	25	55	1,4 <sup>4</sup> )
170	0	220	0,50	20	53	1,4 <sup>4</sup> )
100	0	220	0,22	9	46	1,5 <sup>3</sup> )

→  
<sup>1</sup>) Grid leak of the following tube  
Résistance de fuite du tube suivant  
Gitterableitwiderstand der folgenden Röhre

<sup>2</sup>) Measured at small input voltage  
Mesuré à une tension basse  
Gemessen bei niedriger Eingangsspannung

<sup>3</sup>) At lower output voltages the distortion is proportionally lower  
A des tensions de sortie plus basses la distorsion est proportionnelle à la tension de sortie  
Bei niedrigeren Ausgangsspannungen ist der Klirrfaktor der Ausgangsspannung proportional

<sup>4</sup>) At lower output voltages the distortion remains approx. constant up to  $V_o = 5$  Veff. At values < 5 Veff the distortion is proportionally lower  
A des tensions de sortie plus basses la distorsion reste environ constante jusqu'à  $V_o = 5$  Veff. A des valeurs < 5 Veff la distorsion est réduite proportionnellement  
Bei kleineren Ausgangsspannungen bleibt der Klirrfaktor annähernd konstant bis  $V_o = 5$  Veff. Unterhalb 5 Veff ist der Klirrfaktor der Ausgangsspannung proportional

# PHILIPS

## ECL 82

→ Operating characteristics of the triode section as A.F.  
amplifier  
Caractéristiques d'utilisation de la partie triode en am-  
plificateur B.F.  
Betriebsdaten des Triodenteils als NF-Verstärker

$$R_s = 0,22 \text{ M}\Omega^1) \quad R_g = 3 \text{ M}\Omega \quad R_{g'} = 0,68 \text{ M}\Omega^2)$$

$V_b$ (V)	$R_k$ (k $\Omega$ )	$R_a$ (k $\Omega$ )	$I_a$ (mA)	$V_o^3)$ $\frac{V_o}{V_I}$	$V_o \text{ max}$ ( $V_{eff}$ )	$d_{tot}$ (%)
200	2,2	220	0,52	52	26	1,6 <sup>4)</sup>
170	2,7	220	0,43	51	25	2,3 <sup>4)</sup>

$$R_s = 0,22 \text{ M}\Omega^1) \quad R_g = 22 \text{ M}\Omega \quad R_{g'} = 0,68 \text{ M}\Omega^2)$$

$V_b$ (V)	$R_k$ ( $\Omega$ )	$R_a$ (k $\Omega$ )	$I_a$ (mA)	$V_o^3)$ $\frac{V_o}{V_I}$	$V_o \text{ max}$ ( $V_{eff}$ )	$d_{tot}$ (%)
200	0	100	1,05	50	24	1,5 <sup>5)</sup>
170	0	100	0,86	49	19	1,4 <sup>5)</sup>
200	0	220	0,61	55	25	1,4 <sup>5)</sup>
170	0	220	0,50	53	20	1,4 <sup>5)</sup>

- 1) Signal source resistance  
Résistance interne de la source de signal  
Generator- Innenwiderstand
- 2) Grid leak of the following tube  
Résistance de fuite du tube suivant  
Gitterableitwiderstand der folgenden Röhre
- 3) Measured at small input voltage  
Mesuré à une tension d'entrée faible  
Gemessen bei niedriger Eingangsspannung
- 4) At lower output voltages the distortion is proportionally lower  
A des tensions de sortie plus basses la distorsion est proportionnelle à la tension de sortie  
Bei niedrigeren Ausgangsspannungen ist der Klirrfaktor der Ausgangsspannung proportional
- 5) At lower output voltages the distortion remains approximately constant down to  $V_o = 5 \text{ V}_{eff}$ . At values < 5  $\text{V}_{eff}$  the distortion is approximately proportional to  $V_o$ .  
À des tensions de sortie plus basses la distorsion reste environ constante jusqu'à  $V_o = 5 \text{ V}_{eff}$ . À des valeurs < 5  $\text{V}_{eff}$  la distorsion est à peu près proportionnelle à  $V_o$ .  
Bei kleineren Ausgangsspannungen bleibt der Klirrfaktor annähernd konstant bis  $V_o = 5 \text{ V}_{eff}$ . Unterhalb 5  $\text{V}_{eff}$  ist der Klirrfaktor der Ausgangsspannung ungefähr proportional.

5.5.1960

938 4308

5.

Limiting values of the pentode section  
 Caractéristiques limites de la partie pentode  
 Grenzdaten des Pentodenteils

$V_{a_0}$	= max. 550 V	$W_{g2}$	= max. 1,8 W
$V_a$	= max. 300 V	$W_{g2p}$	= max. 3,2 W
$V_{ap}$	= max. 2500 V <sup>4)</sup>	$I_k$	= max. 50 mA
$-V_{ap}$	= max. 500 V	$R_g$	= max. 1 MΩ <sup>7)</sup>
$W_a$	= max. 5 W <sup>5)</sup>	$R_{g1}$	= max. 2 MΩ <sup>8)</sup>
$W_a$	= max. 7 W <sup>6)</sup>	$V_{kf}$	= max. 100 V
$V_{g2o}$	= max. 550 V	$R_{kf}$	= max. 20 kΩ
$V_{g2}$	= max. 300 V		

Limiting values of the triode section  
 Caractéristiques limites de la partie triode  
 Grenzdaten des Triodenteils

$V_{a_0}$	= max. 550 V	$R_g$	= max. 1 MΩ <sup>7)</sup>
$V_a$	= max. 300 V	$R_g$	= max. 3 MΩ <sup>8)</sup>
$V_{ap}$	= max. 600 V <sup>4)</sup>	$R_g$	= max. 22 MΩ <sup>9)</sup>
$W_a$	= max. 1 W	$V_{kf}$	= max. 100 V
$I_k$	= max. 15 mA	$R_{kf}$	= max. 20 kΩ
		$Z_g(50 \text{ c/s})$	= max. 500 kΩ

<sup>4)</sup>Max. pulse duration 4% of a cycle with a maximum of 0,8 msec.  
 Durée de l'impulsion max. 4% d'un cycle avec un maximum de 0,8 msec.  
 Impulsdauer max. 4% einer Periode mit einem Maximum von 0,8 mSek.

<sup>5)</sup>For frame output application  
 En cas d'utilisation comme tube de sortie pour la déviation verticale  
 Bei Verwendung als Endröhre für die vertikale Ablenkung

<sup>6)</sup>For audio output application  
 En cas d'utilisation comme tube de sortie B.F.  
 Bei Verwendung als NF-Endröhre

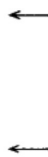
<sup>7)</sup>With fixed bias  
 Avec polarisation fixe  
 Mit fester Gittervorspannung

<sup>8)</sup>With automatic bias  
 Avec polarisation automatique  
 Mit automatischer Gittervorspannung

<sup>9)</sup>With grid current biasing  
 Si la polarisation est obtenue seulement par moyen de  $R_g$   
 Wenn die Gittervorspannung nur mittels  $R_g$  erhalten wird

Limiting values of the pentode section  
 Caractéristiques limites de la partie penthode  
 Grenzdaten des Pentodenteils

$V_{ao}$	= max. 550 V	$W_{g2}$	= max. 2 W
$V_a$	= max. 300 V	$W_{g2p}$	= max. 3,2 W
$V_{ap}$	= max. 2500 V <sup>1)</sup>	$I_k$	= max. 50 mA
$-V_{ap}$	= max. 500 V	$R_{g1}$	= max. 1 MΩ <sup>4)</sup>
$W_a$	= max. 5 W <sup>2)</sup>	$R_{g1}$	= max. 2 MΩ <sup>5)</sup>
$W_a$	= max. 7 W <sup>3)</sup>	$V_{kf}$	= max. 150 V
$V_{g2o}$	= max. 550 V	$R_{kf}$	= max. 20 kΩ
$V_{g2}$	= max. 300 V		



Limiting values of the triode section  
 Caractéristiques limites de la partie triode  
 Grenzdaten des Triodenteils

$V_{ao}$	= max. 550 V	$R_g$	= max. 1 MΩ <sup>4)</sup>
$V_a$	= max. 300 V	$R_g$	= max. 3 MΩ <sup>5)</sup>
$V_{ap}$	= max. 600 V <sup>1)</sup>	$R_g$	= max. 22 MΩ <sup>6)</sup>
$W_a$	= max. 1 W	$V_{kf}$	= max. 100 V
$I_k$	= max. 15 mA	$R_{kf}$	= max. 20 kΩ
$I_{kp}$	= max. 100 mA <sup>1)</sup>	$Z_g(50 \text{ c/s})$	= max. 500 kΩ

<sup>1)</sup> Max. pulse duration 4% of a cycle with a maximum of 0,8 msec.  
 Durée de l'impulsion max. 4% d'un cycle avec un maximum de 0,8 msec.  
 Impulsdauer max. 4% einer Periode mit einem Maximum von 0,8 ms.

<sup>2)</sup> For frame output application  
 En cas d'utilisation comme tube de sortie pour la déviation verticale  
 Bei Verwendung als Endröhre für die vertikale Ablenkung

<sup>3)</sup> For audio output application  
 En cas d'utilisation comme tube de sortie B.F.  
 Bei Verwendung als NF-Endröhre

<sup>4)</sup> With fixed bias  
 Avec polarisation fixe  
 Mit fester Gittervorspannung

<sup>5)</sup> With automatic bias  
 Avec polarisation automatique  
 Mit automatischer Gittervorspannung

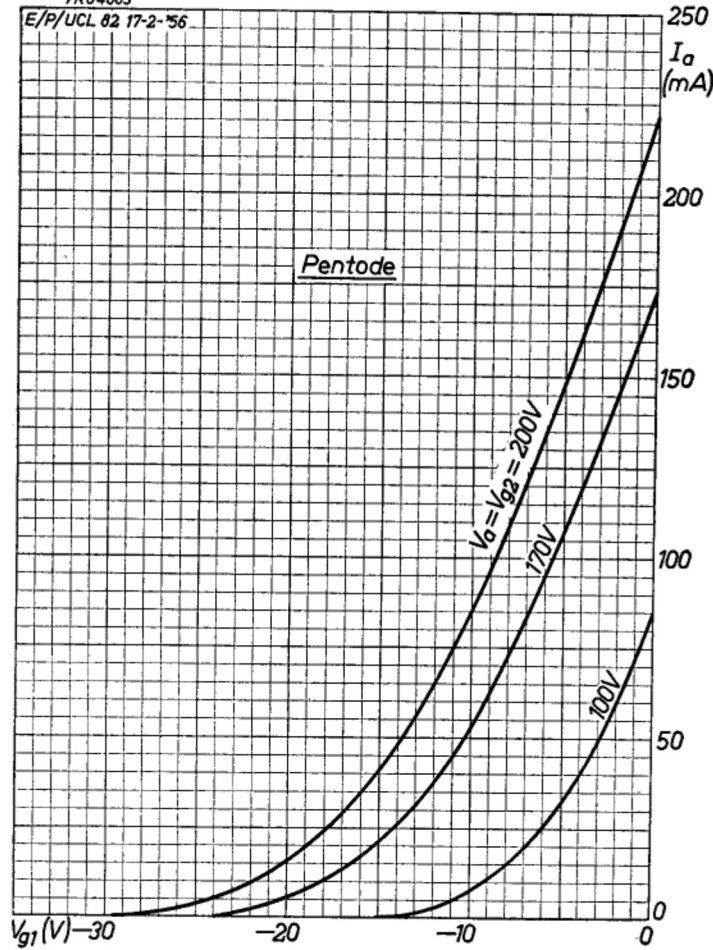
<sup>6)</sup> With grid current biasing  
 Si la polarisation est obtenue seulement par moyen de  $R_g$   
 Wenn die Gittervorspannung nur mittels  $R_g$  erhalten wird

**PHILIPS**

**ECL 82**

7R04883

E/P UCL 82 17-2-56

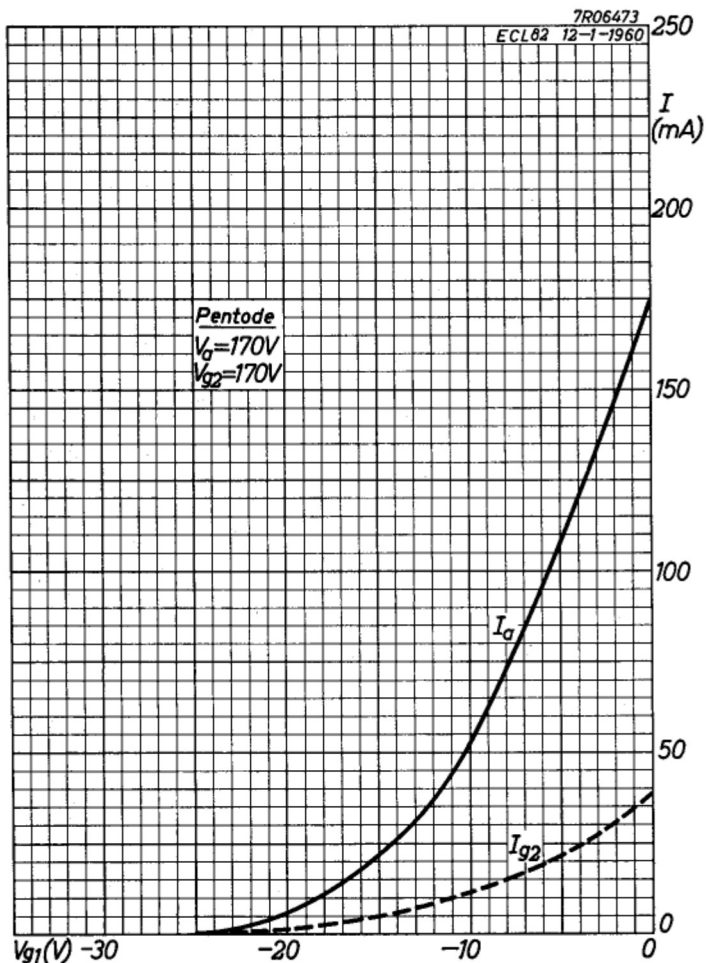


3.3.1956

A

**PHILIPS**

**ECL 82**

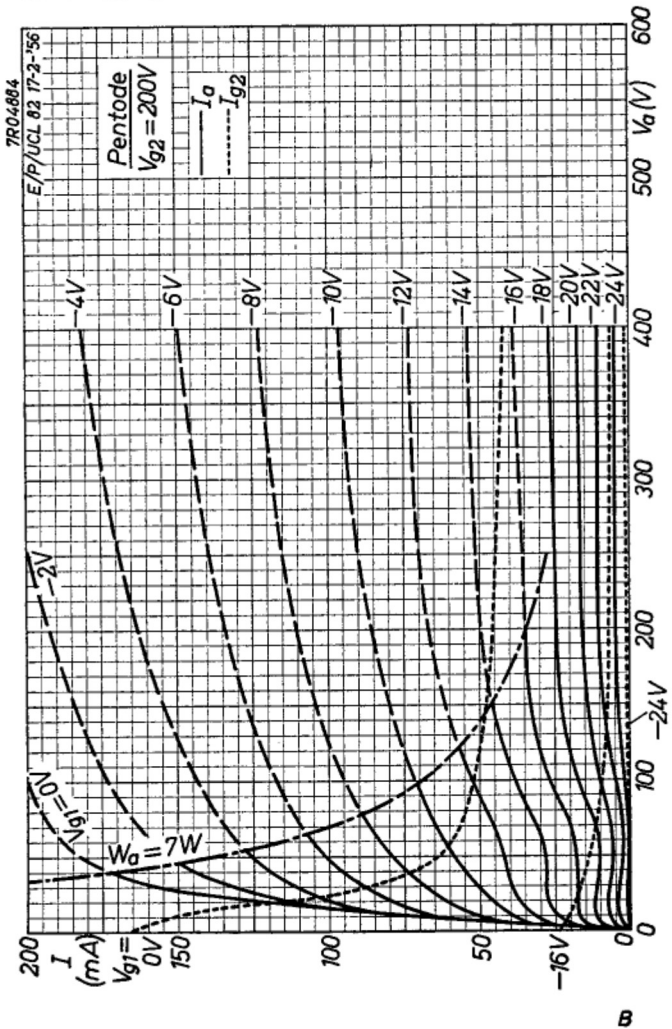


5.5.1960

A

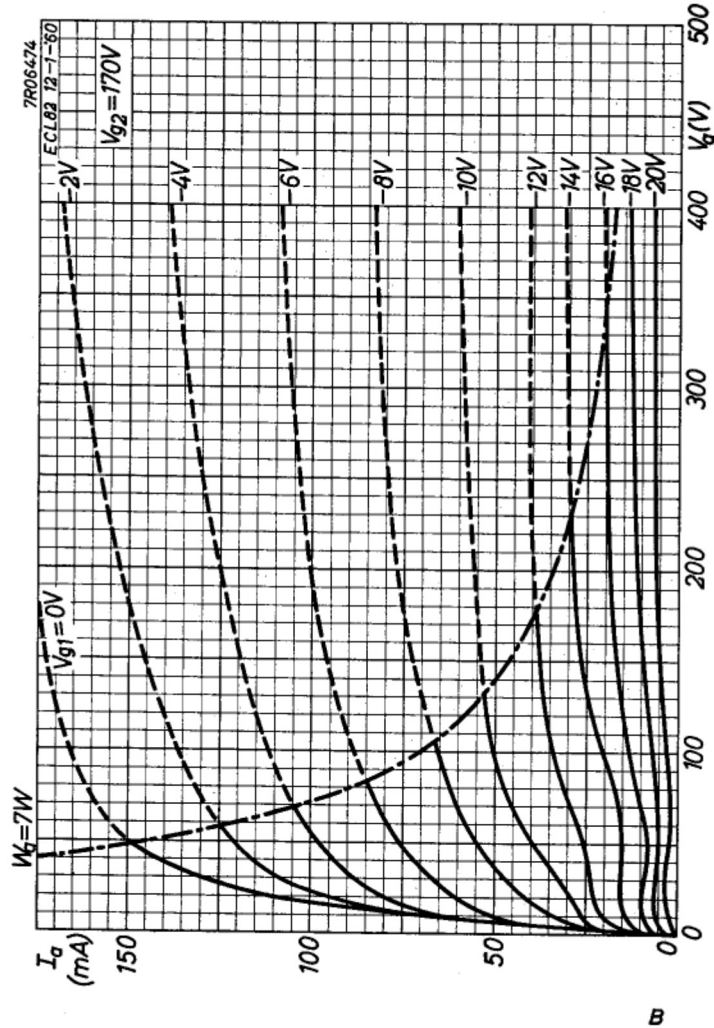
**ECL 82**

**PHILIPS**



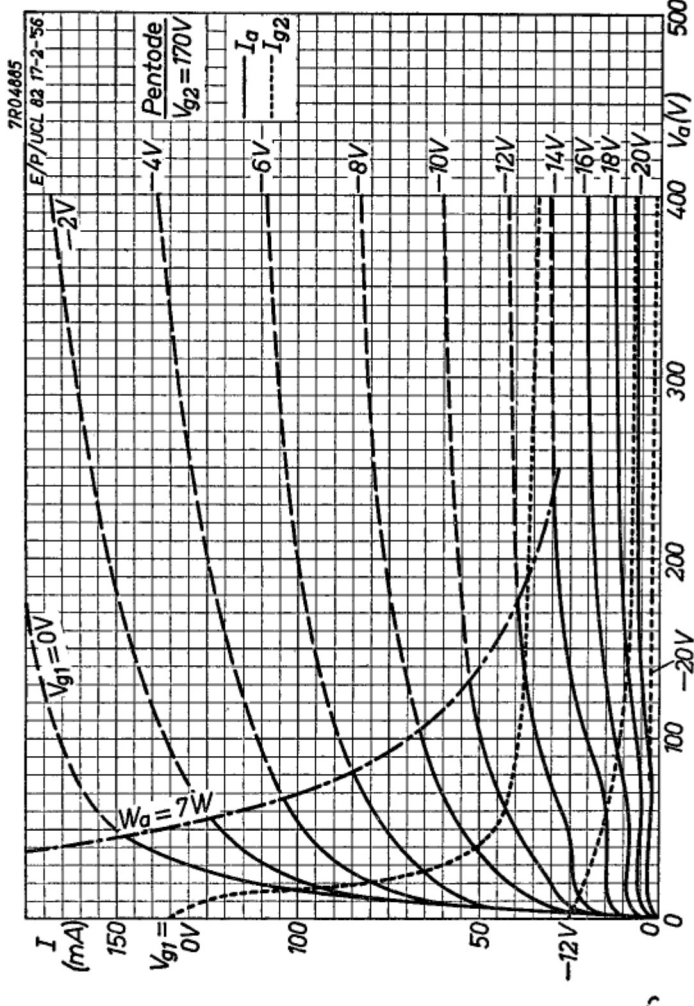
**ECL 82**

**PHILIPS**



**PHILIPS**

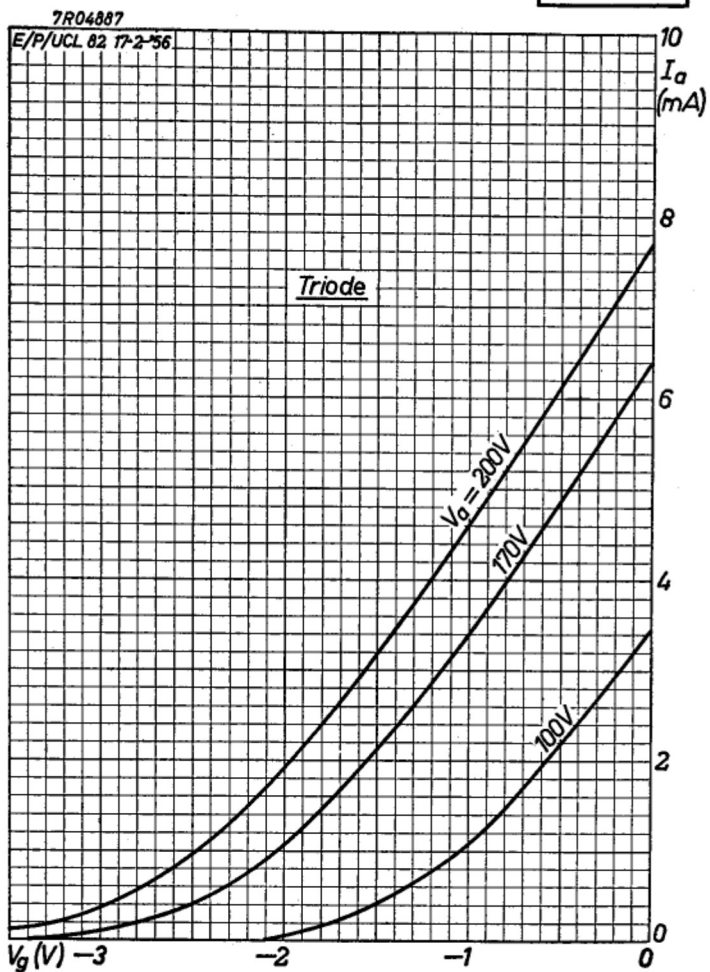
**ECL 82**



10.10.1957

**PHILIPS**

**ECL 82**

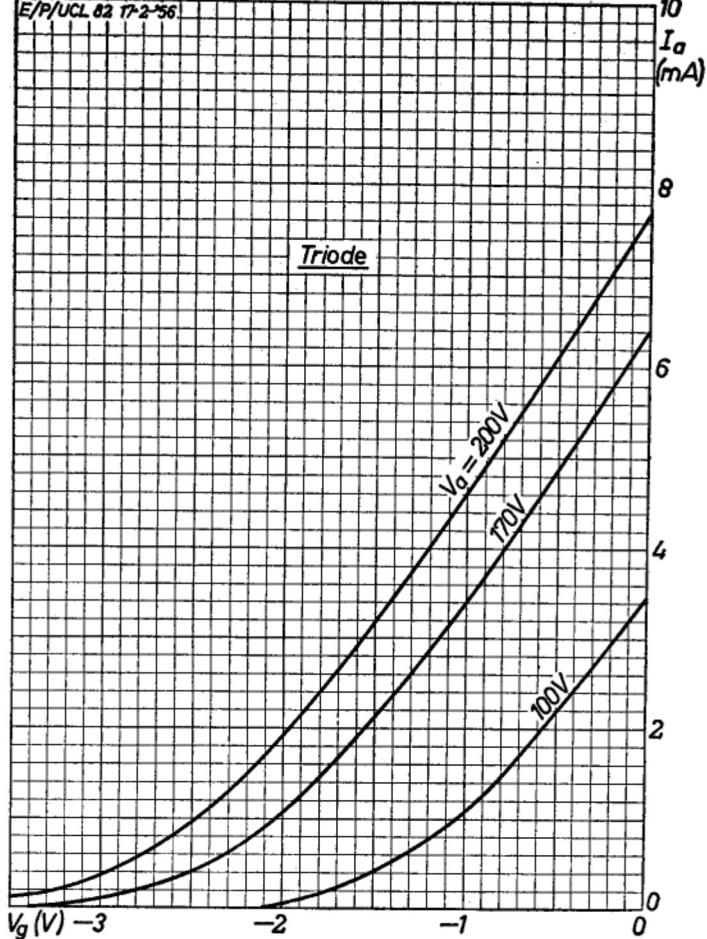


5.5.1960

C

7R04887

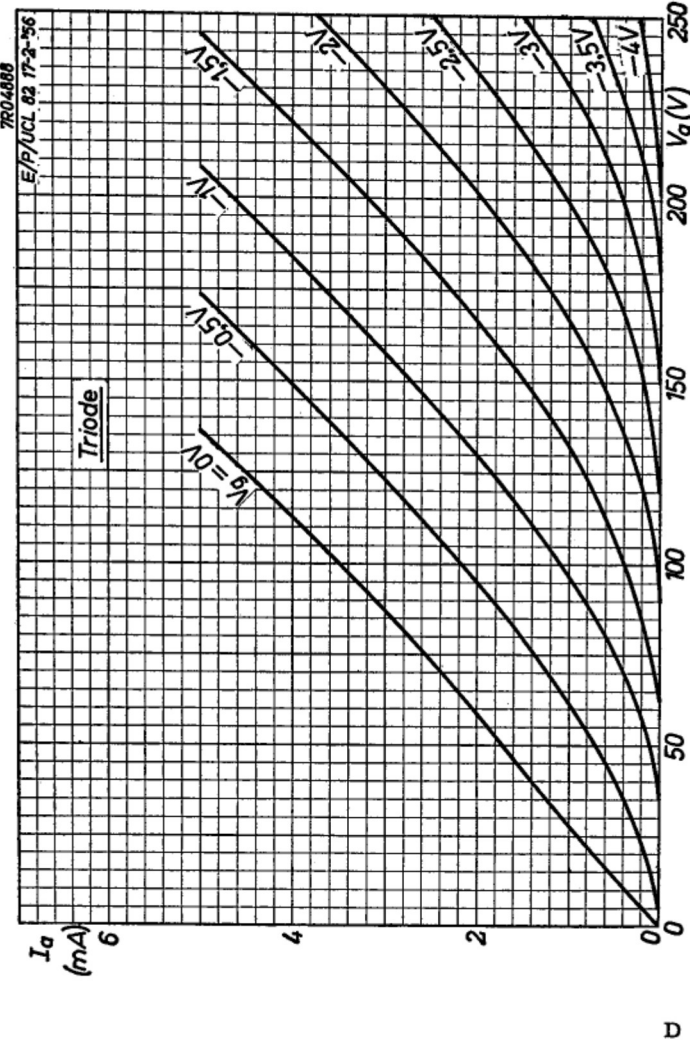
E/P/UCL 82 T7-2-56



D

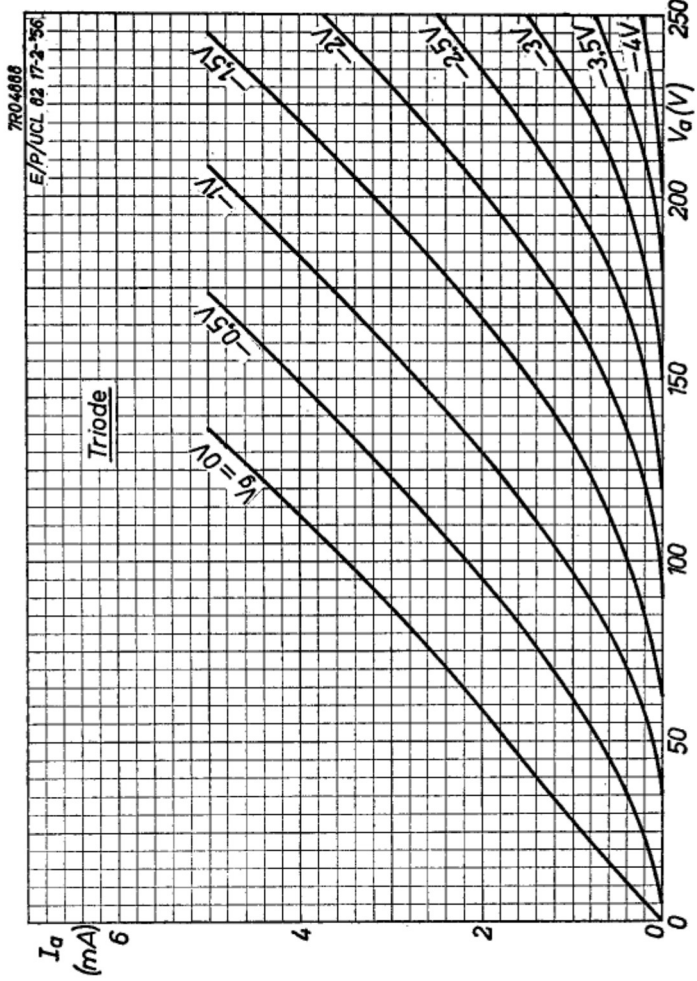
**ECL 82**

**PHILIPS**



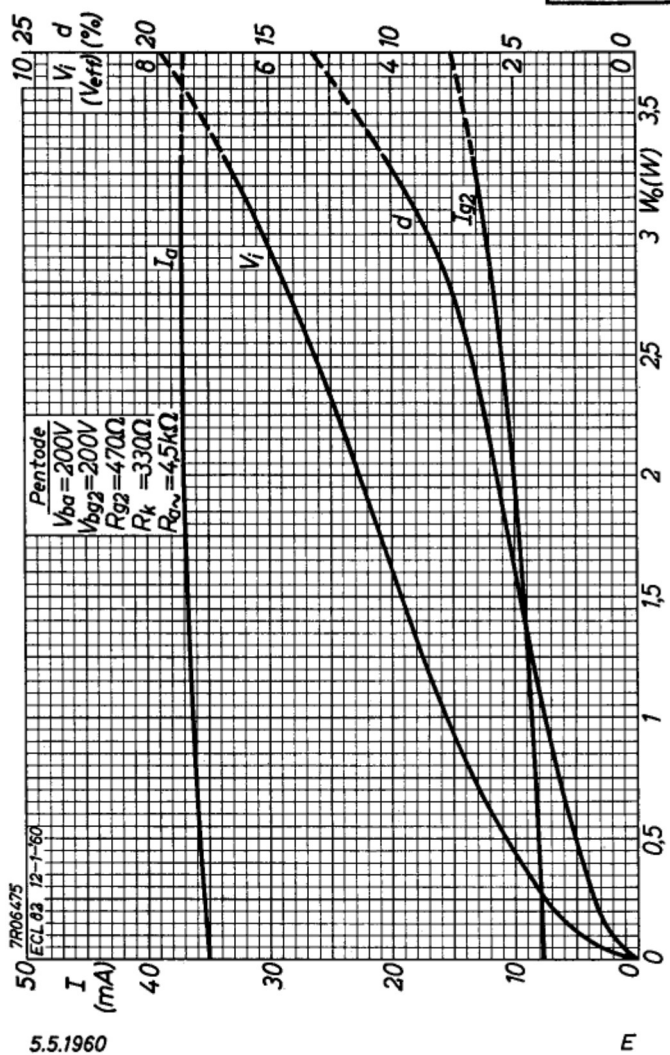
**PHILIPS**

**ECL 82**



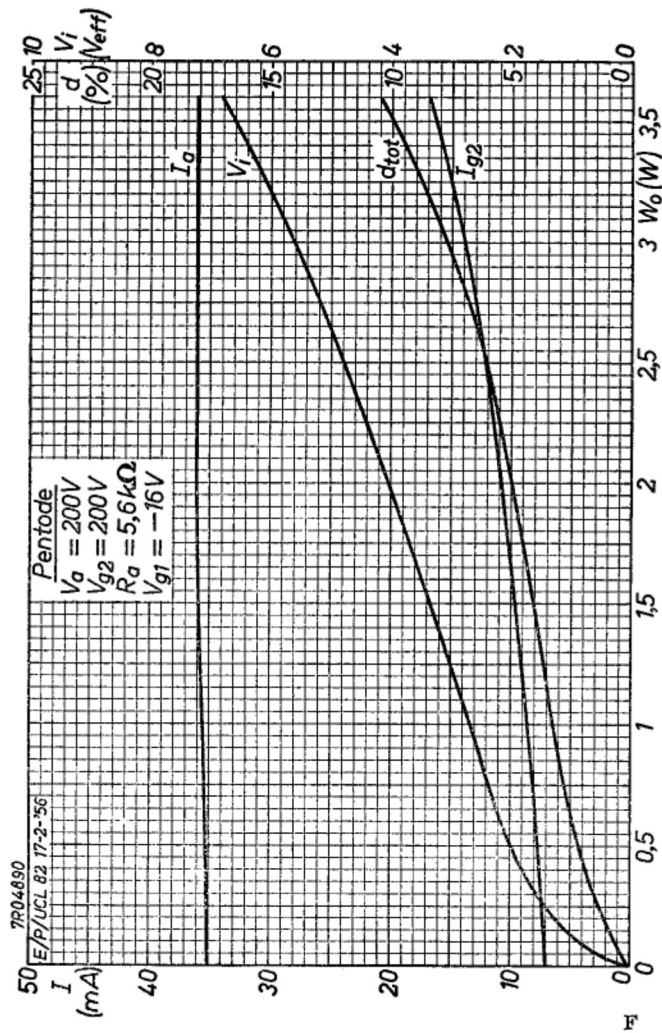
10.10.1957

E

**PHILIPS****ECL 82**

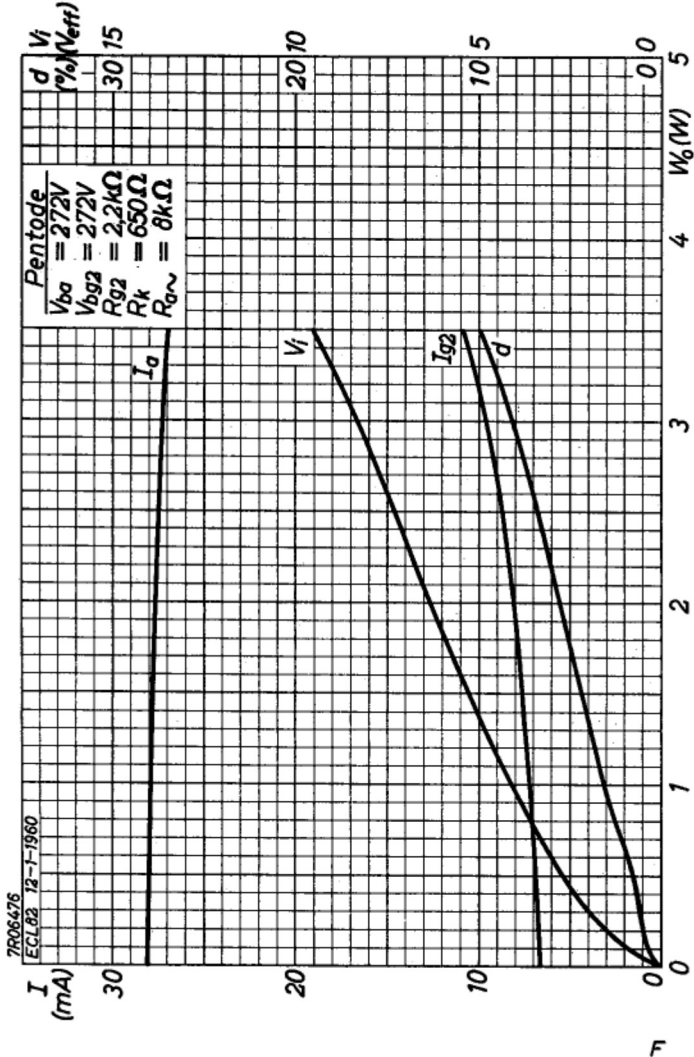
**ECL 82**

**PHILIPS**



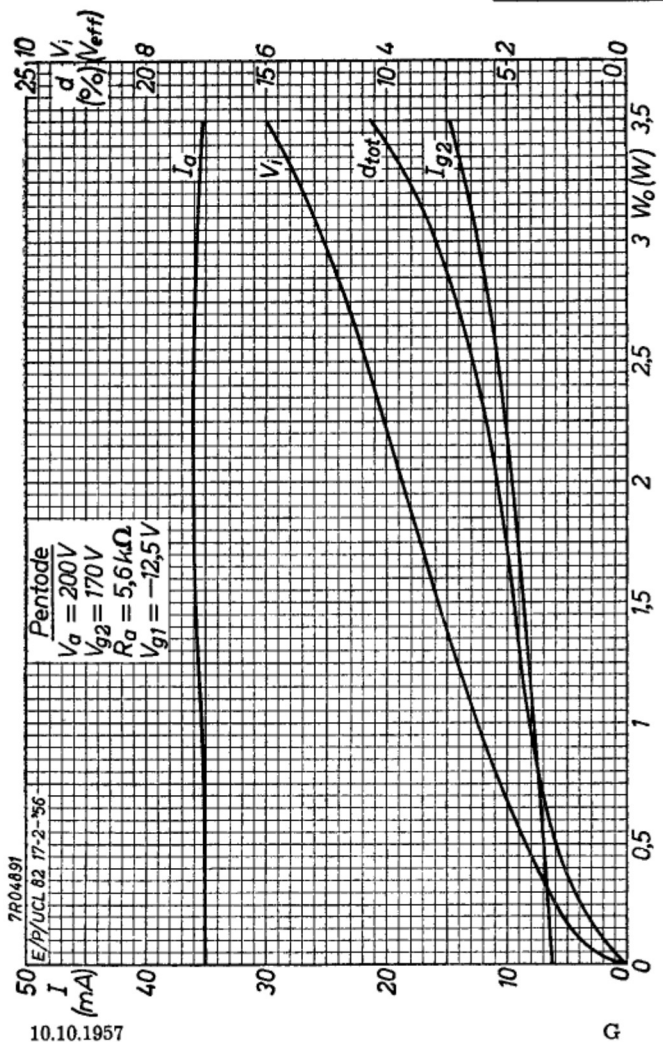
**ECL 82**

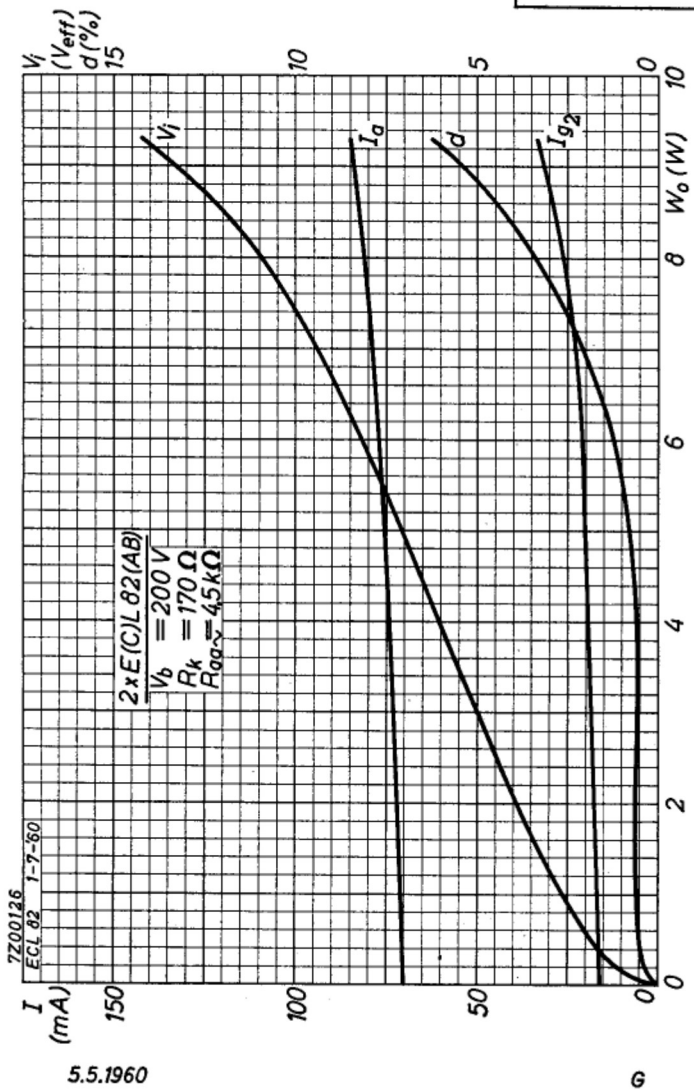
**PHILIPS**

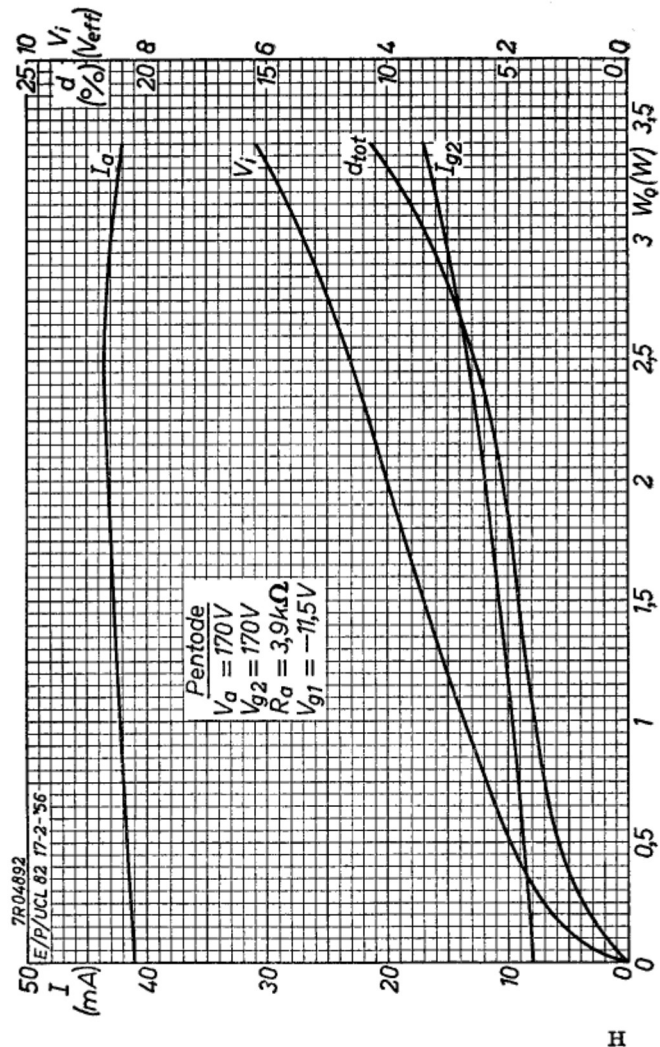


**PHILIPS**

**ECL 82**

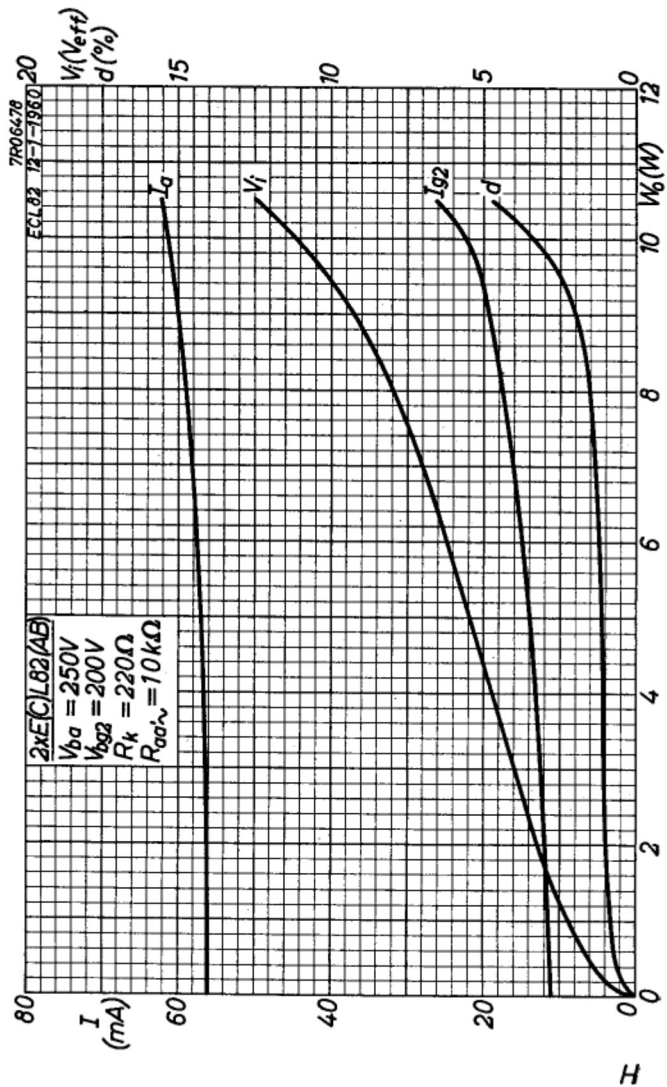


**PHILIPS****ECL 82**



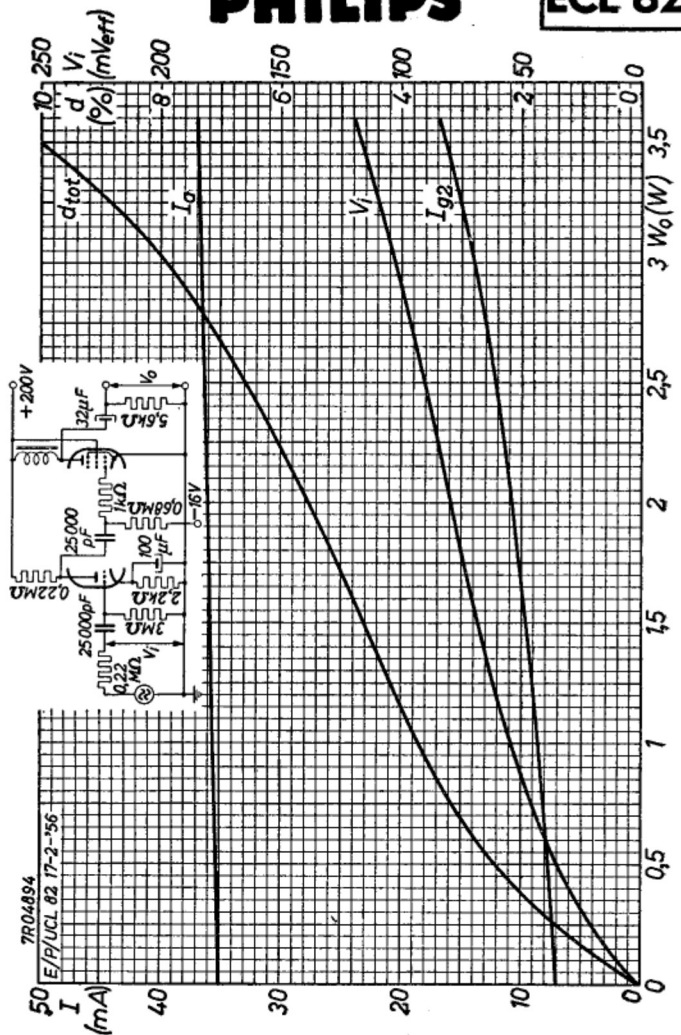
**ECL 82**

**PHILIPS**



**PHILIPS**

**ECL 82**

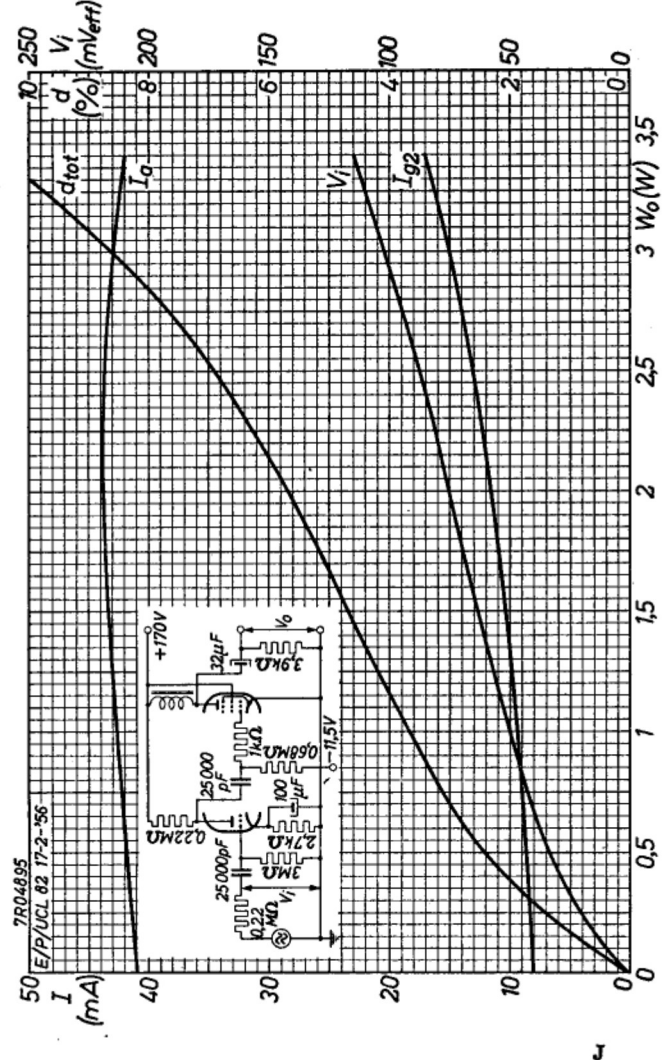


7R04894  
EPLUCL 82 7-2-56

10.10.1957

ECL 82

**PHILIPS**



**PHILIPS**

*Electronic  
Tube*

**HANDBOOK**

**ECL82**

<b>page</b>	<b>sheet</b>	<b>date</b>
1	1	1956.11.11
2	1	1960.05.05
3	2	1956.11.11
4	2	1960.05.05
5	3	1956.11.11
6	3	1960.05.05
7	4	1956.11.11
8	4	1960.05.05
9	5	1956.11.11
10	5	1960.05.05
11	6	1956.11.11
12	6	1960.05.05
13	A	1956.03.03
14	A	1960.05.05
15	B	1956.03.03
16	B	1960.05.05
17	C	1957.10.10
18	C	1960.05.05
19	D	1957.10.10

20	D	1960.05.05
21	E	1957.10.10
22	E	1960.05.05
23	F	1957.10.10
24	F	1960.05.05
25	G	1957.10.10
26	G	1960.05.05
27	H	1957.10.10
28	H	1960.05.05
29	I	1957.10.10
30	J	1957.10.10
31, 32	FP	2005.05.06